

**ИЗМЕРЕНИЕ ТЕНЗОРНОЙ АНАЛИЗИРУЮЩЕЙ СПОСОБНОСТИ  
РЕАКЦИИ  $^{12}\text{C}(d, p)$  С ВЫЛЕТОМ ПРОТОНОВ  
ПОД НУЛЕВЫМ УГЛОМ ПРИ ИМПУЛЬСЕ ДЕЙТРОНОВ 9,1 ГэВ/с.**

В.Г.Аблеев, Л.Визирева<sup>1)</sup>, В.И.Волков, С.В.Джмухадзе, С.А.Запорожец,  
А.Д.Кириллов, А.П.Кобушкин<sup>2)</sup>, В.И.Котов, Б.Кюн<sup>3)</sup>, П.К.Маньяков,  
В.А.Мончинский, Б.Науманн, Л.Науманн, С.А.Новиков, В.Нойберг<sup>3)</sup>,  
А.А.Номофилов, Л.Пенчев, Ю.К.Пилипенко, Н.М.Пискунов,  
П.А.Рукояткин, А.Л.Светов, И.М.Ситник, Е.А.Строковский,  
Л.Н.Струнов, С.В.Федуров, В.В.Фимушкин, В.И.Шаров.

Измерена тензорная анализирующая способность  $T_{20}$  реакции  $^{12}\text{C}(d, p)$  в интервале импульсов протонов в системе покоя дейтрана ( $0 - 0,4$ ) ГэВ/с. Результаты измерения сравниваются с предсказаниями различных теоретических моделей.

Проведенный нами ранее цикл исследований <sup>1, 2, 3</sup> по фрагментации релятивистских ядер  $d$  и  $^3\text{He}$  с регистрацией фрагментов под нулевым углом позволил сделать вывод о большем вкладе высокоимпульсной компоненты в волновые функции этих ядер, чем это предсказывается расчетами с использованием известных  $NN$ -потенциалов. Этот вывод подтверждается исследованиями  $(d, p)$  реакции, выполненными при других кинематических условиях, а также анализом данных по электродезинтеграции легких ядер и упругому  $pd$ -рассеянию назад (см. <sup>2</sup> и содержащиеся там ссылки, а также <sup>4</sup>). Необходимость аналогичных опытов с поляризованными дейтранами обсуждается, например, в <sup>1, 3</sup>.

В этой статье мы приводим результаты измерений тензорной анализирующей способности  $T_{20}$  реакции  $^{12}\text{C}(d, p)$  с вылетом протона под углом  $\theta < 0,4^\circ$  при импульсе  $p_d = 9,1\text{ГэВ/с}$ , выполненных на синхрофазотроне ОИЯИ. Предварительные данные представлялись на конференциях <sup>2, 5</sup>.

С помощью установки ПОЛЯРИС <sup>6</sup> была организована повторяемая последовательность циклов ускорения: 1) неполяризованных дейтранов; 2) дейтранов с выстроеннстью <sup>7</sup>  $\rho_{20}(+) > 0$ ; 3) с выстроеннстью  $\rho_{20}(-) < 0$ . Интенсивность пучка ( $\sim 5 \cdot 10^8$  частиц/цикл) не зависела от мод поляризации. Для оценки выстроенности нами были измерены отношения сечений для разных мод поляризации в процессе упругого  $dp$ -рассеяния ( $p_j = 3\text{ ГэВ/с}$ ,  $\langle t \rangle = -0,143$  (ГэВ/с)<sup>2</sup>), анализирующая способность которого известна <sup>8</sup>. Наиболее точная оценка получена для величины

$$\Delta\rho = (\rho_{20}(+) - \rho_{20}(-)) = 0,45 \pm 0,06.$$

Расчет, указывающий на отсутствие деполяризации дейтранов на синхрофазотроне <sup>9</sup>, был экспериментально подтвержден на векторной моде поляризации, ее оценка составила  $0,04 \pm 0,02$ .

При  $\theta = 0^\circ$   $T_{20}$  связана с дифференциальными сечениями реакции  $(d, p)$  для выстроенных ( $\sigma(\pm)$ ) и невыстроенных ( $\sigma$ ) дейтранов соотношением

$$\sigma(\pm)/\sigma = 1 - \frac{1}{2} \rho_{20}(\pm) T_{20}. \quad (1)$$

Сечения измерялись в постановке, принципиально не отличающейся от описанной в <sup>1</sup>. Процедура накопления данных состояла из последовательности измерений, каждое из которых

<sup>1)</sup> ВХТИ, София

<sup>2)</sup> ИТФ АН УССР, Киев

<sup>3)</sup> ЦИЯИ АН ГДР, Россендорф

велося в интервале импульсов  $|p - p_0|/p \leq 0,07$ , а  $p_0$  варьировался от 4,4 до 6,6 ГэВ/с. Статистика каждого измерения составляла около 30 тыс. событий. Наибольшее число измерений, равномерно распределенных во времени всего сеанса, было выполнено при импульсе  $p_0 = 5,7$  ГэВ/с (область ожидаемого максимума эффекта) для последующей оценки дрейфа поляризации пучка. В пределах статистических ошибок он не обнаружен. В процессе экспозиции регистрировались интенсивность и пространственно-временные характеристики пучка дейtronов, поле ускорителя в момент его вывода. При обработке, в зависимости от степени отклонения этих параметров от уставных значений, циклы ускорителя браковались или вводилась необходимая поправка.

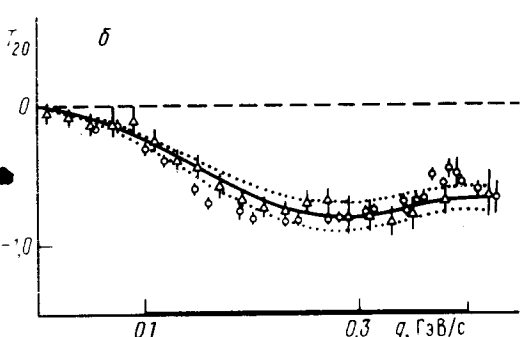
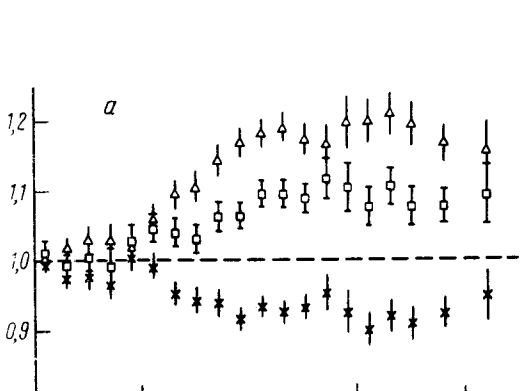


Рис. 1

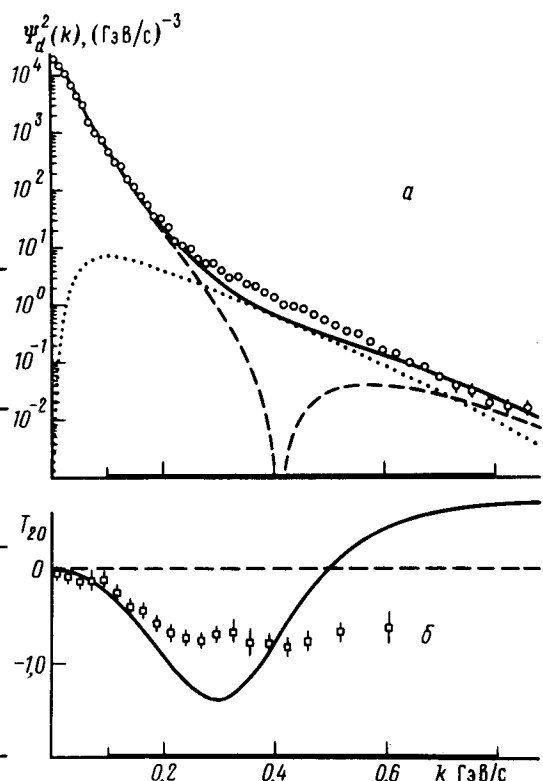


Рис. 2

Рис. 1. а — Отношения:  $\square - \sigma(+)$ ,  $\times - \sigma(-)/\sigma$ ,  $\Delta - \sigma(+)/\sigma(-)$  в зависимости от импульса протона в системе покоя дейтрона, б —  $T_{20}$  реакции  $^{12}\text{C}(d, p)$ :  $\Delta$  — наши данные,  $\circ$  — данные  $^{12}$ . Пояснения к кривым смотрите в тексте

Рис. 2. Распределения нуклонов в дейтроне (а) и  $T_{20}$  (б) в зависимости от "внутреннего импульса". Сплошные кривые  $-\psi_d^2(k)$  и  $T_{20}(k)$  для парижского  $NN$ -потенциала. Штриховая и точечные кривые  $u^2(k)$  и  $w^2(k)$ , соответственно

На рис. 1а приведены отношения сечений для различных мод поляризации. Совместный фит отображений  $\sigma(+)/\sigma$  и  $\sigma(-)/\sigma$  показал, что  $\rho_{20}(-)/\rho_{20}(+) = -1,02 \pm 0,09$ . Для извлечения значений  $T_{20}$  (рис. 1б) использовалась наиболее чувствительная к этой величине комбинация  $\sigma(+)/\sigma(-)$ , связанная с  $T_{20}$ , соотношением (редукция формулы (1))

$$\ln(\sigma(+)/\sigma(-)) = -\frac{1}{2} \Delta \rho T_{20} \quad (2)$$

выполняющимися с точностью (в случае  $|\rho_{20}(-)| \approx |\rho_{20}(+)|$ ) порядка  $10^{-3}$ . На рисунке приведены только статистические ошибки. Основной вклад в систематическую ошибку вно-

сит неопределенность в значении  $\Delta\rho$ . Ее влияние на данные показано на рис. 1б следующим образом. Сплошная кривая – полином пятой степени, аппроксимирующий данные:

$$F(q) = \sum_{n=1}^5 A_n q^n, \quad A_n = (-1,24; -7,94; -99,3; 593; -754).$$

Точками показаны кривые  $F(q) \cdot (0,45 \pm 0,06) / 0,45$ , они наилучшим образом пройдут через данные в случае подстановки в формулу (2) значений  $\Delta\rho$ , отличающихся от приведенного выше на величину ошибки. На рис. 2 приведены значения  $T_{20}$  в зависимости от "внутреннего импульса"  $k$  совместно с распределением нуклонов в дейтроне  $\psi_d^2$ , извлеченным из наших данных по сечениям  $p(d, p)$ <sup>2</sup>. Связь  $k$  с импульсом наблюдаемого фрагмента, а также  $\psi_d^2$  с сечением дана в работах<sup>2,3</sup>. Сплошными кривыми показаны  $\psi_d^2(k)$  и рассчитанная в импульсном приближении

$$T_{20}(k) = \frac{w(k)}{\sqrt{2}} \frac{2\sqrt{2}u(k) - w(k)}{u^2(k) + w^2(k)} \quad (3)$$

для парижского  $NN$ -потенциала. Здесь  $u(k)$  и  $w(k)$  –  $s$ - и  $d$ -волновые функции дейтрона.

Для всех реалистических  $NN$ -потенциалов  $u(k)$  проходит через ноль при  $k = k_1 < 0,4$  ГэВ/с. Из формулы (3) следует, что при  $k < k_1$  обязательно достигается значение  $T_{20}^{min} = -\sqrt{2}$ . Тот факт, что измеренная  $T_{20}$  не достигает  $-\sqrt{2}$ , допускает следующие интерпретации: 1)  $u(k)$  всюду положительна (такое поведение допускается моделью дейтрона<sup>10</sup>, предполагающей наличие кварковых степеней свободы, однако, для нее не удается подобрать параметры так, чтобы удовлетворительно описать сразу два набора данных, приведенных на рис. 2); 2) поведение  $T_{20}$  не описывается формулой (3), например, из-за заметного вклада эффектов взаимодействия в конечном состоянии (чemu однако, противоречит хорошее согласие наших данных с данными<sup>12</sup>, полученными при существенно меньшей энергии дейтрона).

Можно говорить о качественном согласии наших данных с предсказаниями<sup>11</sup> ( $T_{20}$  всюду отрицательна). Модель, с которой наблюдалось бы хорошее количественное согласие, авторам найти не удалось. Уточнить вопрос о том, необходима ли более адекватная модель дейтрона или нужно более корректно вычислять связь между наблюдаемыми сечениями и волновой функцией дейтрона, могли бы измерения коэффициента передачи поляризации от дейтрона к протону-фрагменту.

Авторы благодарят дирекцию и сотрудников Лаборатории за поддержку этих исследований, И.А.Савина за полезные замечания при обсуждении текста статьи, З.П.Мстину и Р.Н.Петрову за оказанную ими помочь при выполнении этой работы.

### Литература

1. Ableev V.G. et al. Nucl. Phys., 1983, A393, 491; A411, 541 (E); Аблев В.Г., Воробьев Г.Г., Визирева Л. и др. Письма в ЖЭТФ, 1983, 37, 196.
2. Запорожец С.А. и др. В сб.: Труды VIII Межд. семинара по проблемам физики высоких энергий, ОИЯИ, Д1. 2-86-668, Дубна, 1986, 1, с. 341; Аблев В.Г. и др. В сб.: Малочастичные и кварк-адронные системы, ОИЯИ, Д4-87-692, Дубна, 1987, с. 140.
3. Аблев В.Г. и др. Письма в ЖЭТФ, 1987, 45, 467.
4. Ажгирей Л.С. и др. ЯФ, 1987, 46, 1134.
5. Naumann B. et al. In: Proc. VII Intern. Symposium on High Energy Spin Physic, Protvino, 1986, 2, 111.
6. Belushkina A.A. et al. Ibid., p. 215.
7. Haeberli W. Ann. Rev. of Nucl. Sci., 1967, 17, 373.
8. Arvieux J. et al. Nucl. Phys., 1984, A431, 613.
9. Плис Ю.А., Сороко Л.М. УФН, 1972, 107, 281.

10. *Kobushkin A.P., Vizireva L.* J. Phys. G: Nucl. Phys., 1982, 8, 893.
11. *Браун М.А., Токарев М.В.* В сб.: Нуклон-нуклонные и адрон-ядерные взаимодействия при промежуточных энергиях, Л.: ЛИЯФ, 1986, с. 31.
12. *Perdrisat C.F. et al.* Phys. Rev. Lett., 1987, 59, 2840.
13. *Bosted P.E.* SLAC-PUB-4386, 1987; *Frankfurt L.L., Strikman M.L.* Phys. Rep., 1981, 76, 215; *Карманов В.А.* ЯФ, 1981, 34, 1020.

Поступила в редакцию  
8 апреля 1988 г.

Объединенный институт ядерных исследований

---